

فرمیون‌های مایورانا بر روی فصل مشترک ابررسانای دیراکی شبه اسکالر

مرتضی صالحی^۱, سیداکبر جعفری^{۲*}

^۱دانشگاه فیزیک، دانشگاه صنعتی شریف، خیابان آزادی، تهران صندوق پستی ۹۱۶۱۵۵۰-۹۱۶۱، تهران، ایران.

^۲قطب علمی سیستم‌های پیچیده و ماده چگال، دانشگاه صنعتی شریف، ۱۴۵۸۸۱۹۷۹۴، خیابان آزادی، تهران، ایران.

چکیده

در راستای پیشرفت‌های اخیر در حوزه ابررساناهای توپولوژیک، ما نشان دادیم که یک دریای دو-بعدی از فرمیون‌های مایورانا بر روی سطح یک ابررسانای دیراکی سه بعدی که دارای تقارن تک-تایی شبه اسکالر است ایجاد می‌گردد. این ابررسانای دیراکی با جفت‌شدگی موج S مشابه با برهم‌کنش شبه اسکالر جاذبه در تئوری دیراک نسبیتی است. ما نشان دادیم که بدون نیاز به میدان زیمان و در رقابت بین گاف ماده دیراکی و گاف ابررسانایی یک انتقال فاز توپولوژیک در ابررسانای دیراکی رخ خواهد داد که منجر به تراپرد آناریو-کلاین کامل خواهد شد. دریای دو-بعدی از فرمیون‌های دیراک، یک قله تشییدی با پایداری کامل در رسانندگی دیفرانسیلی تک اتصال مابین ماده نرم‌مال و ابررسانای دیراکی خواهد داشت. علاوه بر این جریان جوزفسون کسری با دوره 4π در یک اتصال ابررسانای نرم‌مال-ابررسانای دیراکی یکی دیگر از نشانه‌های حضور فرمیون‌های مایورانا و تغییر پاریته فرمیونی سیستم است.

Majorana fermions on the interface of Psuedo-scaler Dirac superconductors

Salehi, Morteza¹; Jafari, Seyed Akbar^{1,2}

¹ Department of Physics, Sharif University of Technology, 11155-9161, Iran.

² Center of Excellence for Complex Systems and Condensed Matter (CSCM), Sharif University of Technology, 1458889694, Tehran, Iran.

Abstract

Motivated by recent developments in the field of topological superconductors, we show that there is a two dimensional Majorana sea (2DMS) on the interface of three dimensional Dirac superconductors (3DDS) with singlet symmetry. The 3DDS with s -wave couplings resembles attractive pseudo-scalar interaction in the relativistic Dirac theory. In the absence of Zeeman field, there is a topological phase transition in the competition between Dirac and superconducting gap which leads to perfect Andreev-Klein transmission. The 2DMS shows a resonant peak with robust character in the differential conductance of the junction between three dimensional Dirac material (3DDM) and 3DDS. Furthermore, 4π periodic Josephson current in the junction of 3DDS/ 3DDM / 3DDS is shown as another sign of Majorana fermions and fermion parity switch.

PACS No. {72.00, 72.10, 74.00, 74.10}

محاسبات کوانتومی توپولوژیک کاربرد بسیار دارد [2]. اختلال‌های

موضعی نمی‌توانند حالت‌های مایورانا را از بین ببرند و آنها به صورت توپولوژیکی محافظت شده هستند و تنها با انتقال فاز توپولوژیکی می‌توان آنها را از بین برد [4,3].

برای ایجاد فرمیون‌های مایورانا، در حضور برهم‌کنش اسپین-مدار و با استفاده از سازوکار مجاورت گاف ابررسانایی و گاف زیمان

مقدمه

در سالهای گذشته، ابررساناهای توپولوژیک توجه بسیار زیادی را در جامعه فیزیک ماده چگال به خود جلب کرده‌اند. حضور فرمیون‌های مایورانا بعنوان حالت‌های جایگزینه بر روی لبه یا مرزهای ابررساناهای توپولوژیک آنها را بسیار مورد توجه قرار داده است [1]. ذره مایورانا، فرمیونی است که پاد-ذره خود است و در

احتمال الکترون-گونه یا حفره-گونه بودن شبهدزه های معادله (۲) است. از آنجایی که ماتریس $\hat{\Delta}_S$ دارای ابعاد 4×4 است، می‌توان آن را بر حسب ماتریس‌های ۱۶ گانه پایه نوشت [۶]. یکی از این نمایش‌های ماتریس‌های پایه با استفاده از ترکیب‌های ماتریس‌های γ_μ است و به صورت زیر در خواهد آمد:

$$\hat{\Delta}_S = \begin{pmatrix} \Delta_0 + \Delta_5 \gamma_5 + \sum_{\mu=0}^3 \Delta_\mu \gamma_\mu + \sum_{\mu=0}^3 \Delta_{5\mu} \gamma_5 \gamma_\mu \\ + \sum_{\mu=0}^3 \sum_{\nu < \mu} \Delta_{\mu\nu} \sigma_{\mu\nu} \end{pmatrix} \quad (4)$$

که $\sigma_{\mu\nu} = i[\gamma_\mu, \gamma_\nu] / 2$ و $\gamma_5 = i\gamma_0\gamma_1\gamma_2\gamma_3$ تعریف می‌شوند. این ۱۶ حالت ممکن برای جفت‌شدگی‌های ابررسانایی شامل تمام حالت‌های ممکن برای S-wave و P-wave است. ما متوجه شدیم که از میان همه این حالت‌های ممکن اگر Δ_5 که نشان دهنده جفت‌شدگی شبه‌اسکالر و موج S است را بعنوان جفت‌شدگی ابررسانایی انتخاب کنیم آنگاه ویژه مقادیر معادله (۲) به صورت

$$E = \pm \sqrt{q^2 + (\Delta_D \pm \Delta_5)^2} \quad (5)$$

در خواهد آمد. که برای سادگی $\hbar v_F = 1$ قرار دادیم. همچنین برای سادگی $\mu = 0$ است. به طور واضح گاف انرژی برانگیختگی‌های شبه‌ذره برای حالتی که داخل پرانتر با تقریق دو کمیت همراه باشد، در $\Delta_D = \Delta_5$ بسته خواهد شد و علامت گاف در حالتی که $\Delta_D > \Delta_5$ با حالتی که $\Delta_D < \Delta_5$ مخالف یکدیگر هستند. این دو اثر اولین نشانه‌های یک انتقال فاز توپولوژیک هستند. در حالت $0 \neq \mu \neq \gamma_5$ همین اثرات حضور دارند اما ریاضیات پیچیده‌تری دارند که در اینجا از آنها صرف‌نظر کردیم.

برای اینکه نشان دهیم این یک انتقال فاز توپولوژیک است با استفاده از روش تقارن کایرال عدد چرن را برای رابطه (۳) محاسبه می‌کنیم [۱]،

$$Q = \frac{1}{2} \left(\frac{\Delta_D + \Delta_5}{|\Delta_D + \Delta_5|} - \frac{\Delta_D - \Delta_5}{|\Delta_D - \Delta_5|} \right) \quad (6)$$

همان‌طور که از رابطه بالا مشخص است، در حالتی که $\Delta_D > \Delta_5$ باشد، $Q = 0$ است و سیستم در حالت پایه بدیهی قرار دارد، ولی در حالتی که $\Delta_D < \Delta_5$ باشد، آنگاه

در سیستم الگامی شود. در محدوده‌های که این دو گاف با یکدیگر برابر باشند، یک انتقال فاز توپولوژیک رخ خواهد داد و فرمیون‌های مایورانا ایجاد خواهند شد [۳]. محدودیت‌های موجود برای سیستم‌های معرفی شده منجر به حالت‌های صفر بعدی و یک بعدی برای فرمیون‌های مایورانا شده است [۴-۵]، در حالی که برای کاربردهای محاسبات کوانتموی نیاز به یک آرایه دو-بعدی از مایوراناها داریم [۲]. در این مقاله ما به بررسی ابررسانایی در یک ماده دیراکی سه بعدی پرداخته‌ایم. همچنین، نشان دادیم که این سیستم در غیاب میدان زیمان و در رقابت بین گاف ابررسانایی و گاف ماده دیراکی در جایی که این دو گاف با یکدیگر برابر باشند، یک انتقال فاز توپولوژیک خواهد داشت. با محاسبه عدد چرن برای این ساختار نشان دادیم که انتقال فاز همراه با ایجاد بار توپولوژیک با عدد Z در سیستم است. در نهایت با محاسبه رسانندگی دیفرانسیلی و جریان جوزفسون اثبات آزمایشگاهی متناظر با حضور فرمیون‌های مایورانا را نشان داده‌ایم.

تئوری و فرمول‌بندی

یک ماده دیراکی سه بعدی را در نظر می‌گیریم که هامیلتونی موثر برانگیختگی‌های کم-انرژی آن در نقطه Γ از منطقه بریلوبن با رابطه زیر توصیف شده باشد،

$$H(\mathbf{q}) = \Delta_D \gamma_0 + \hbar v_D \gamma_0 \mathbf{q} \cdot \boldsymbol{\gamma} \quad (1)$$

که Δ_D گاف ماده دیراکی سه بعدی، v_D سرعت فرمیون‌ها و \mathbf{q} بردار موج آن‌ها است. همچنین ماتریس‌های γ_j که از جبر کلیفورد تبعیت می‌کنند نیز به صورت زیر تعریف می‌شوند،

$$\gamma_0 = \tau_z \otimes \sigma_0, \quad \gamma_j = i\tau_1 \otimes \sigma_j \quad (2)$$

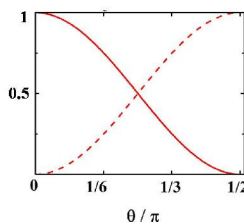
که τ_z و σ_j ها ماتریس‌های پائولی در فضای اسپین و نوارهای انرژی هستند. σ_0 نیز ماتریس یکانی مرتبه دو است. با قرار دادن هامیلتونی دیراک، رابطه (۱)، در معادله بوگلوبوف-دوژن به معادله دیراک-بوگلوبوف-دوژن (DBdG) خواهیم رسید،

$$\begin{pmatrix} H(\mathbf{k}) - \mu & \hat{\Delta}_S \gamma_0 e^{i\varphi} \\ \gamma_0 \hat{\Delta}_S^\dagger e^{-i\varphi} & \mu + CH(\mathbf{q}) C^{-1} \end{pmatrix} \begin{pmatrix} u \\ v \end{pmatrix} = \varepsilon \begin{pmatrix} u \\ v \end{pmatrix} \quad (3)$$

که $\hat{\Delta}_S$ پارامتر نظم ابررسانایی است. عملگر پادیکانی مزدوج بار نیز به صورت $C = \gamma_2 \gamma_0 K$ تعریف می‌شود. u و v دامنه

$$\begin{aligned} \Psi_{e,\uparrow}^{M,+} &+ \sum_{\nu=\downarrow,\downarrow} \left(r_{N,\nu} \Psi_{e,\nu}^{M,-} + r_{A,\nu} \Psi_{h,\nu}^{M,-} \right) \\ &= \sum_{\kappa=1,2} \left(t_{e,\kappa} \Psi_{e,\kappa}^{S,+} + t_{h,\kappa} \Psi_{h,\kappa}^{S,+} \right) \end{aligned} \quad (7)$$

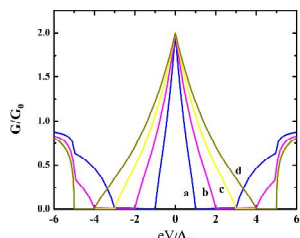
با زتاب آندریو غیرعادی در اثر حضور برهم‌کنش اسپین-مدار قوی که در بطن معادله دیراک نهفته است اتفاق می‌افتد. همان‌طور که در شکل ۲ نشان داده شده است، در حد انرژی صفر، $0 \rightarrow \epsilon$ ، دو بازتاب آندریو-الکترون (۱) و (۲) صفر شده و تنها بازتاب‌های آندریو (۳) و (۴) حضور خواهد داشت که منجر به بازتاب کامل آندریو-کلاین با احتمال بازتاب یک می‌شوند. این اثر اولین نشانه حضور فرمیون‌های مایورانا در فصل مشترک اتصال است.



شکل ۲- احتمال بازتاب آندریو عادی با خط پر و بازتاب آندریو غیرعادی با خط چین بر حسب زاویه فروض ذره برای انرژی $\epsilon = 0$ نشان داده شده است. مجموع این دو احتمال برابر یک است و بازتاب آندریو کامل است. با تعمیم نظریه BTK، می‌توان رسانندگی دیفرانسیل اتصال را نیز به صورت زیر محاسبه کرد [۷]:

$$G(\epsilon) = G_0 = (e^2/h) \sum_n \left(1 + \sum_\nu |r_{A,\nu}(\epsilon, \theta_n)|^2 - \sum_\nu |r_{N,\nu}(\epsilon, \theta_n)|^2 \right) \quad (8)$$

که $\{\uparrow, \downarrow\}_\nu$ جهت‌گیری اسپینی و $G_0 = e^2/h$ کوانتای رسانندگی است. ضرایب بازتاب آندریو با $r_{A,\nu}(\epsilon, \theta_n)$ و ضرایب بازتاب نرمال با $r_{N,\nu}(\epsilon, \theta_n)$ نشان داده شده‌اند.

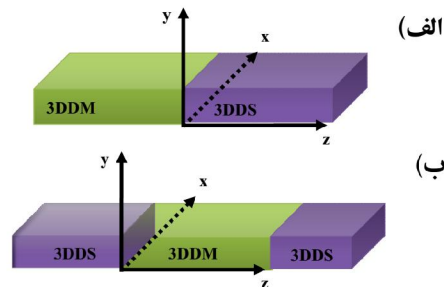


شکل ۳- رسانندگی دیفرانسیلی تک اتصال 3DDM/3DDS که بر حسب گاف انرژی دیراکی بهنجار شده است. مجموعه نمودارهای {a, b, c, d} برای مقادیر $\{\mu/\Delta_D = 2, 3, 4, 5\}$ رسم شده است. همچنین گاف ابررسانایی برابر $\Delta_5 = 5\Delta_D$ است.

$Q = \text{sgn}(\Delta_5)$ خواهد بود و سیستم در حالت غیربدیهی و توپولوژیک قرار دارد. از بحث بالا نتیجه می‌گیریم که بسته شدن گاف در $\Delta_5 = \Delta_D$ متناظر با یک انتقال فاز توپولوژیک است. در ادامه با بررسی خواص تراپری این سیستم، اثرات آزمایشگاهی حضور فرمیون‌های مایورانا را نشان خواهیم داد.

نتایج و بحث‌ها

اگر مانند قسمت الف از شکل ۱، یک ماده دیراکی نرمال داشته باشیم، یعنی $\{\Delta_D \neq 0, \Delta_5 = 0\}$ باشد و یکی ماده دیراکی ابررسانا $\{\Delta_D = 0, \Delta_5 \neq 0\}$ داشته باشیم، در فصل مشترک این دو ماده که یک صفحه دو بعدی است، دریابی از فرمیون‌های مایورانا که برانگیختگی‌هایی با انرژی صفر هستند و در فصل مشترک اتصال جایگزینه شده‌اند، زندگی خواهند کرد.



شکل ۱- (الف) ساختار تک اتصالی. ب) ساختار دو اتصالی جوزفسون

در قسمت الف از شکل ۱، یک الکترون با انرژی $\epsilon < \Delta_5$ که از $z \rightarrow -\infty$ با جهت گیری اسپینی بالا بر روی فصل مشترک فروض می‌آید، بدليل حضور گاف ابررسانایی امکان تراپر در ناحیه ابررسانا وجود ندارد، اما برای بازتاب از فصل مشترک چهار احتمال وجود دارد: (۱) بازتاب الکترون-الکترون با اسپین بالا، (۲) بازتاب الکترون-الکترون با اسپین وارون، (۳) بازتاب آندریو عادی با اسپین پایین، (۴) بازتاب آندریو غیرعادی با اسپین بالا. این احتمال‌ها را به همراه احتمال تراپر در ناحیه ابررسانایی برای انرژی‌های $\epsilon > \Delta_5$ را می‌توان با استفاده از شرط مرزی زیر برای اتصال تابع موج ناحیه 3DDM به تابع موج ناحیه 3DDS بدست آورد. این سازوکار برای الکترون فرودی با اسپین پایین و حفره‌های فرودی نیز وجود دارد.

فرمیون‌های مایورانا بر می‌گردد. با استفاده از رابطه (۹) جریان جوزفسون برای فرمیون‌های مایورانا به صورت زیر بدست می‌آید:

$$I_{\pm}(\delta\phi) = \frac{e\Delta_5}{\hbar} \sum_n^{N_0} \frac{\partial}{\partial \delta\phi} \varepsilon_{\pm}(\delta\phi) = \pm I_c \sin \frac{\delta\phi}{2} \quad (11)$$

که $I_c = (e\Delta_5 / 2\hbar) \sum_n \sqrt{\tau_n}$ جریان بحرانی جوزفسون در اتصال

است. در غیاب فرآیندهایی که بقای پاریته فرمیونی را از بین می‌برند، جریان جوزفسون کسری می‌تواند نشانه حضور فرمیون‌های مایورانا بر روی سطح ابررسانای دیراکی شبه اسکالار سه بعدی باشد.

نتیجه‌گیری

ما نشان دادیم که یک ابررسانای دیراکی با گاف ابررسانایی شبه اسکالار یک ابررسانای توپولوژیک با ناوردای توپولوژیک Z است. بازتاب آندریو غیرعادی برخلاف اتصال‌های فلزی و دیراکی دو بعدی نظیر گرافین، در نتیجه برهم‌کنش اسپین-مدار وجود دارد. در حالت انرژی-صفر بازتاب آندریو-کالین کامل وجود دارد و رسانندگی دیفرانسیلی اتصال دارای قله‌ای با ارتفاع ثابت $2G_0$ در انرژی صفر است که نسبت به تغییر پتانسیل شیمیایی مقاوم است. همچنین جریان جوزفسون این ساختار نیز کسری با دوره تناوب 4π است که منجر به تغییر پاریته فرمیونی سیستم می‌شود.

مرجع‌ها

- [1] Y. Ando and L. Fu, "Topological Crystalline Insulators and Topological Superconductors: From Concepts to Materials" *Annual Review of Condensed Matter Physics* **6**, (2015) 361.
- [2] C. Nayak, S. H. Simon, A. Stern, M. Freedman, and S. Das Sarma, "Non-Abelian anyons and topological quantum computation" *Review of Modern Physics* **80**, (2008)1083.
- [3] L. Fu and C. L. Kane, "Superconducting Proximity Effect and Majorana Fermions at the Surface of a Topological Insulator" *Physical Review Letter* **100**, (2008) 096407.
- [4] L. Fu and C. L. Kane, "Josephson current and noise at a superconductor/quantum-spin-Hall-insulator/superconductor junction" *Physical Review B* **79** (2008) 161408.
- [5] Y. Tanaka, T. Yokoyama and N. Nagaosa, "Manipulation of the Majorana Fermion, Andreev Reflection, and Josephson Current on Topological Insulators" *Physical Review Letter* **103**, (2009) 107002.
- [6] A. Zee, "Quantum Field Theory in a Nutshell" (2nd ed). (*Princeton University Press*, 2010).
- [7] G. E. Blonder, M. Tinkham, and T. M. Klapwijk, "Transition from metallic to tunneling regimes in superconducting microconstrictions: Excess current, charge imbalance, and supercurrent conversion," *Physical Review B* **25** (1982) 4515.
- [8] M. Titov and C. W. J. Beenakker, "Josephson effect in ballistic graphene," *Physical Review B* **74**((2006) 041401..
- [9] J. Tworzydło, B. Trauzettel, M. Titov, A. Rycerz, and C. W. J. Beenakker, "Sub-Poissonian Shot Noise in Graphene," *Physical Review Letters* **96** (2006), 246802.

Authors addresses: morteza.salehi@gmail.com, akbar.jafari@gmail.com

رسانندگی دیفرانسیلی در شکل ۳ نشان داده شده است. در انرژی صفر یک قله تشیدی با مقدار $2G_0$ وجود دارد که نشانه حضور فرمیون‌های مایوراناست. این قله نسبت به تغییرات پارامترهای سیستم نظری پتانسیل شیمیایی مقاوم است و مقدار و مکان خود را حفظ می‌کند.

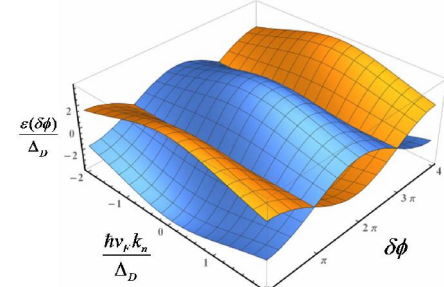
ساختار بعدی که ما در نظر گرفتیم در قسمت (ب) از شکل ۱ نشان داده شده است. یک اتصال جوزفسون که دو ابررسانای دیراکی دو سوی اتصال، دارای اختلاف فاز ماکروسکوپیک ابررسانایی $\delta\phi = \phi_L - \phi_R$ هستند. با استفاده از روش ماتریس تراپرد، انرژی حالت‌های مقید آندریو در حد اتصال کوتاه [8]، $\zeta_S < L$ ، که طول مشخصه ابررسانایی است، به صورت زیر بدست می‌آیند،

$$\varepsilon_n(\delta\phi) = \pm \Delta_5 \sqrt{\tau_n} \cos \frac{\delta\phi}{2} \quad (9)$$

که τ_n رسانندگی اتصال جوزفسونی در حالت نرمال است [9] و به صورت زیر بدست می‌آید:

$$\tau_n^{-1} = \cosh^2(\kappa_n L) + \mu^2 \sinh^2(\kappa_n L) / \kappa_n^2 \quad (10)$$

که $\kappa_n = \sqrt{\Delta_D^2 + k_n^2 - \mu^2}$ و L طول ناحیه 3DDM است.



شکل ۴- انرژی حالت‌های مقید آندریو بر حسب اختلاف فاز ابررسانایی و مولفه عرضی اتصال. این حالت‌ها دارای دوره تناوب 4π هستند. هامیلتونی رابطه (۱) نسبت به تغییر فاز $\phi + 2\pi \rightarrow \phi$ ناوردار است و لی حالت‌های مقید آندریو که در رابطه (۹) بدست آمدند دارای دوره تناوب 4π هستند. در حالتی که $\delta\phi = \pi$ باشد، هر حالت مقید آندریو با یک بسته شدن گاف و منجر تغییر پاریته فرمیونی سیستم به اندازه یک عدد می‌شود. بنابراین تعداد، N_0 ، حالت‌های مقید آندریو تعیین کننده پاریته فرمیونی سیستم هستند به طوری که اگر N_0 فرد باشد پاریته فرمیونی تغییر خواهد کرد و اگر زوج باشد پاریته تغییر نخواهد کرد. منشاء فیزیکی تغییر پاریته به آمار غیرآبلی